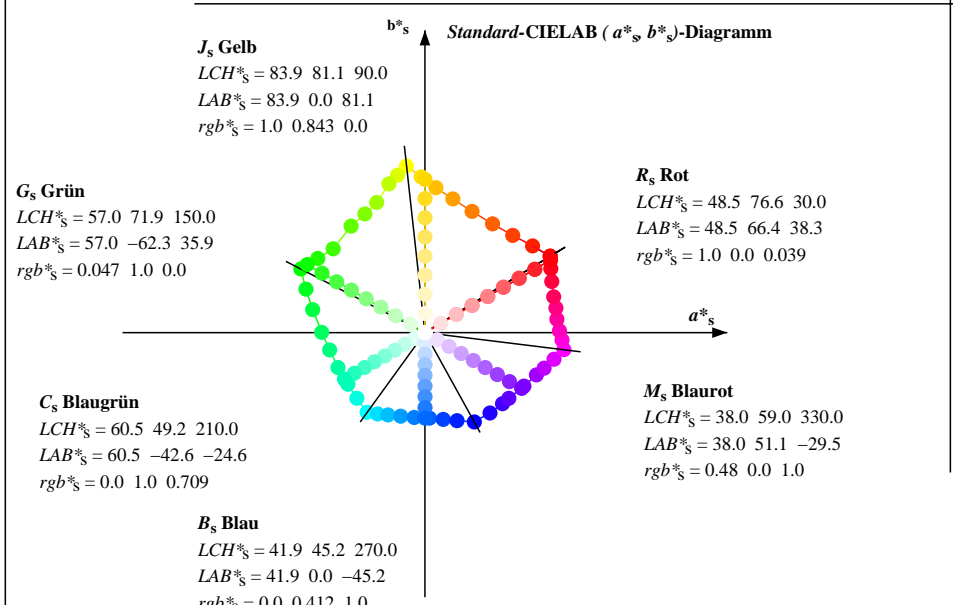
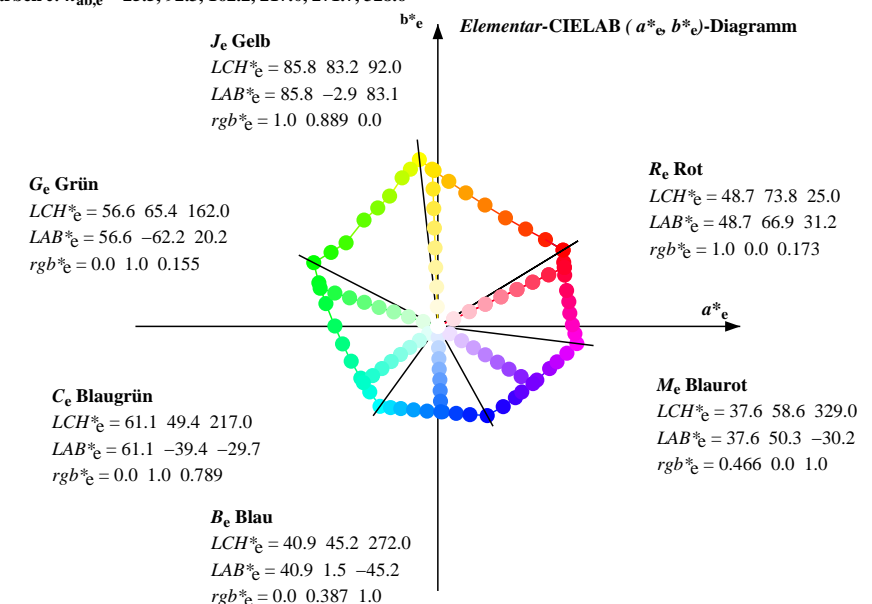
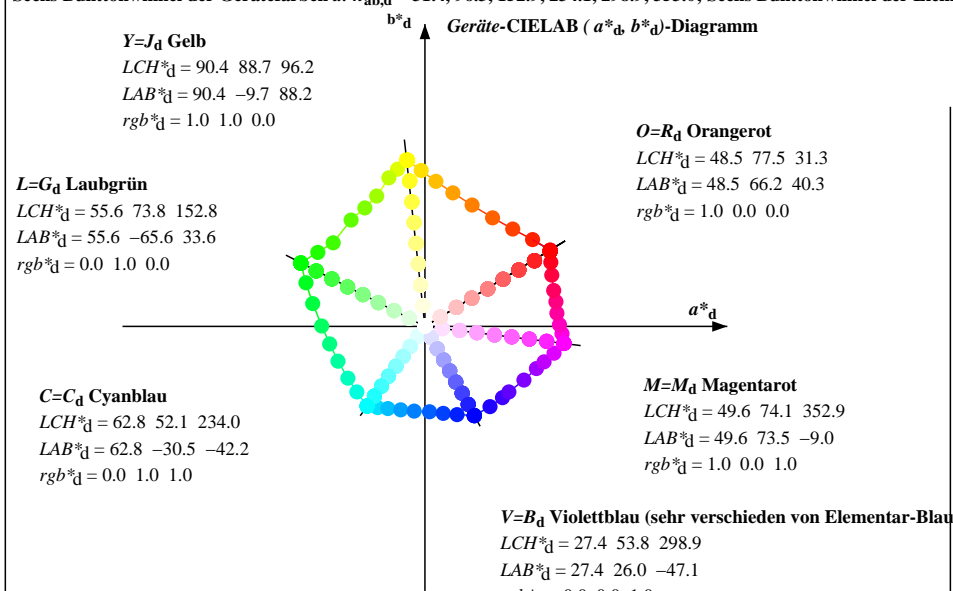


Sechs Buntonwinkel der Gerätefarben d: $h_{ab,d} = 31.4, 96.3, 152.9, 234.1, 298.9, 353.0$; Sechs Buntonwinkel der Elementarfarben e: $h_{ab,e} = 25.5, 92.3, 162.2, 217.0, 271.7, 328.6$



Anmerkung zu den CIELAB-Buntheits-Diagrammen (a^*_{d}, b^*_{d}), (a^*_{s}, b^*_{s}), (a^*_{e}, b^*_{e})

- Für die rgb^*_{d} -Eingabedaten wurden die CIELAB-Daten LCH^*_{d} und LAB^*_{d} gemessen.

$$h_{ab,s} \text{ } rgbs^*_{d} = atan [r^*_{d} \cos(30) + g^*_{d} \cos(150)] / [r^*_{d} \sin(30) + g^*_{d} \sin(150) + b^*_{d} \sin(270)] \quad (1)$$

- Für die 48 oder 360 gleichabständig gestuften Standard-Buntonwinkel $h_{ab,s}$ der Farben von maximaler Buntheit benutze die sieben Buntonwinkel der 60Grad-Farben s: $h_{ab,si} = 30.0, 90.0, 150.0, 210.0, 270.0, 330.0, 390.0$ (i=0,6) und die Gleichungen für einen 48- und 360-stufigen Buntonkreis:

$$h_{48ab,si,j} = h_{ab,si} + j [h_{ab,si+1} - h_{ab,si}] / 8 \quad (i = 0, 1, \dots, 5; j = 0, 1, \dots, 7) \quad (2)$$

$$h_{360ab,si,j} = h_{ab,si} + j [h_{ab,si+1} - h_{ab,si}] / 60 \quad (i = 0, 1, \dots, 5; j = 0, 1, \dots, 59) \quad (3)$$

- Für die 48 oder 360 Elementar-Buntonwinkel $h_{ab,e}$ der Farben von maximaler Buntheit benutze die sieben Buntonwinkel der Elementar-Farben e: $h_{ab,ei} = 25.5, 92.3, 162.2, 217.0, 271.7, 328.6, 385.5$ (i=0,6) und die Gleichungen für einen 48- und 360-stufigen Elementar-Buntonkreis:

$$h_{48ab,ei,j} = h_{ab,ei} + j [h_{ab,ei+1} - h_{ab,ei}] / 8 \quad (i = 0, 1, \dots, 5; j = 0, 1, \dots, 7) \quad (4)$$

$$h_{360ab,ei,j} = h_{ab,ei} + j [h_{ab,ei+1} - h_{ab,ei}] / 60 \quad (i = 0, 1, \dots, 5; j = 0, 1, \dots, 59) \quad (5)$$

- Für jeden Elementar-Buntonwinkel $h_{ab,e}$ gibt es einem genau definierten Geräte-Buntonwinkel $h_{ab,d}$ siehe die folgenden Tabellen, Spalten 1 bis 3.

- Die Werte $rgbs^*_{de}$ erzeugen die Ausgabe der geräteunabhängigen Elementar-Bunntöne